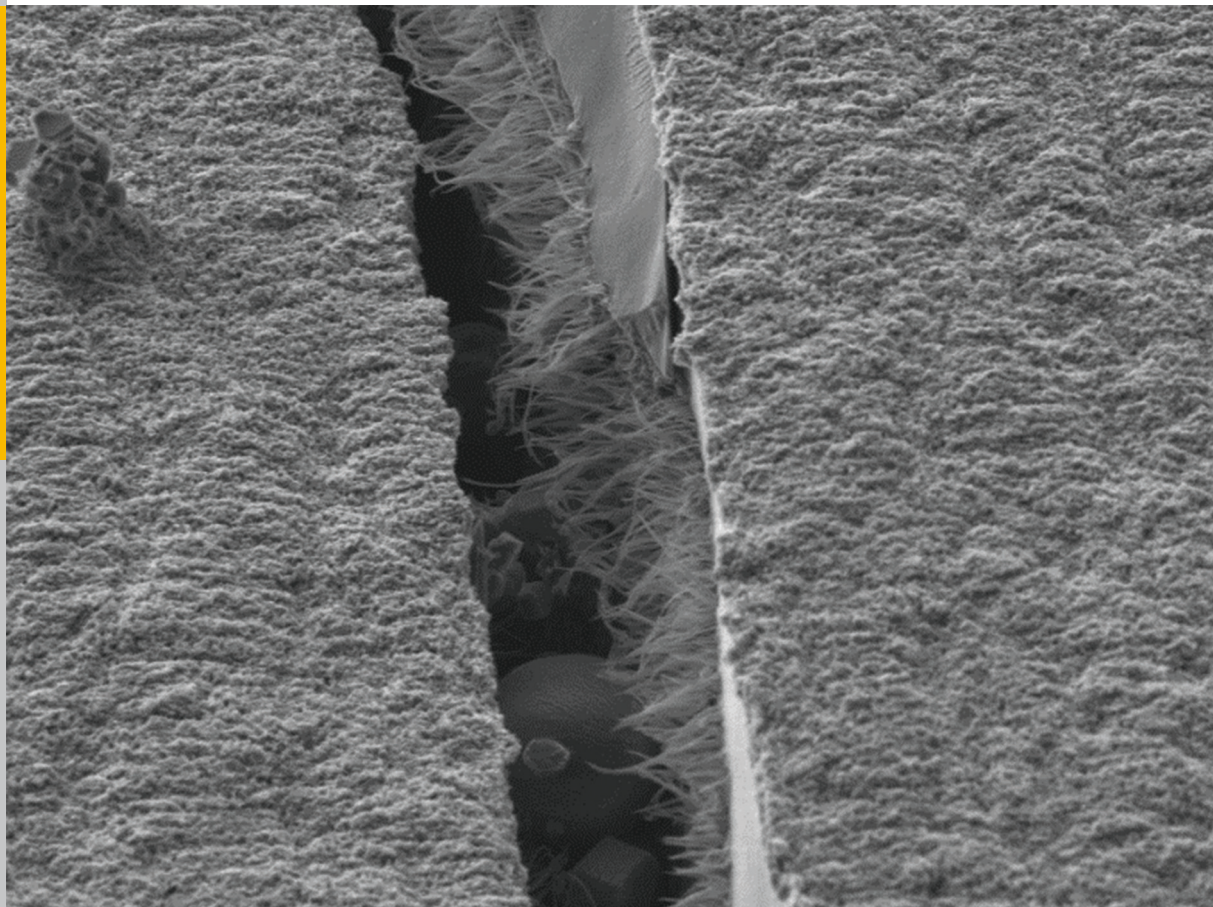


Neue Charakterisierungsmethoden für die Gasdiffusionslage in PEM-Brennstoffzellen vor dem Hintergrund produktionsprozessbedingter Materialschwankungen

Stephan Mathias Bach



Forschungszentrum Jülich GmbH
Institut für Energie- und Klimaforschung
Elektrochemische Verfahrenstechnik (IEK-3)

Neue Charakterisierungsmethoden für die Gasdiffusionslage in PEM-Brennstoffzellen vor dem Hintergrund produktionsprozessbedingter Materialschwankungen

Stephan Mathias Bach

Schriften des Forschungszentrums Jülich
Reihe Energie & Umwelt / Energy & Environment

Band / Volume 286

ISSN 1866-1793

ISBN 978-3-95806-088-3

Inhalt

Abkürzungs- und Symbolverzeichnis	IV
Abkürzungen.....	IV
Formelzeichen	V
1 Einleitung.....	1
1.1 Hintergrund und Zielsetzung der Arbeit.....	1
2 Grundlagen.....	3
2.1 Aufbau und Funktionsprinzip der PEM-Brennstoffzelle	3
2.1.1 Polymer-Elektrolyt-Membran	5
2.1.2 Elektroden.....	6
2.1.3 Gasdiffusionslage.....	7
2.1.4 Bipolarplatte	8
2.2 Verlustmechanismen in der PEM-Brennstoffzelle	9
3 Aktueller Stand der GDL-Forschung	12
3.1 Arten und Herstellungsprozesse	12
3.2 Mechanische Eigenschaften der GDL und deren Messung.....	15
3.3 Oberflächenstruktur	19
3.4 Transportmechanismen und deren Charakterisierung	20
3.4.1 Ladungstransport	21
3.4.2 Wärmetransport	23
3.4.3 Gastransport	25
3.4.4 Flüssigwassertransport	36
3.5 Zusammenfassung und offene Fragestellungen	38
4 Angewandte Messverfahren	40
4.1 Mechanische Eigenschaften	40
4.2 Elektrische Eigenschaften.....	43
4.3 Thermische Eigenschaften	44
4.4 Stofftransporteigenschaften	45
4.5 In-situ-Messungen	51

4.5.1	Short-Stack-Messungen.....	51
4.5.2	Einzelzellenmessungen.....	52
4.5.3	Grundlagen der statistischen Versuchsplanung.....	54
5	Statistische Auswertung von Short-Stack- und Ex-situ-Messergebnissen.....	57
5.1	Bereitstellung von GDL-Materialvariationen mittels statistischer Versuchsplanung	57
5.2	In-situ-Ergebnisse.....	58
5.2.1	Short-Stack-Ergebnisse	58
5.2.2	Einzelzellenmessungen.....	61
5.3	Ergebnisse der Ex-situ-Charakterisierung.....	62
5.3.1	Mechanische und geometrische Eigenschaften.....	62
5.3.2	Elektrische und thermische Eigenschaften	64
5.3.3	Stofftransporteigenschaften.....	65
5.4	Statistische Auswertung der gewonnenen Messreihen	68
5.5	Zusammenfassung und Erkenntnisse	71
6	Optische Charakterisierung der MPL-Struktur unter Druck	73
6.1	Grundidee und Vorversuche	73
6.2	Konzeptvorstellung	75
6.3	Darstellung der druckinduzierten MPL-Strukturveränderung	77
6.3.1	Voruntersuchungen für die Messung der MPL-Struktur unter Druck.....	77
6.3.2	Optische Ermittlung der MPL-Anpressdruckverteilung.....	81
6.3.3	Übertragung auf die Versuchsmaterialien.....	82
6.4	Weitere Anwendungen der Methode.....	84
6.5	Zusammenfassung	85
7	Einzelzellenmessungen bei Grenzstromdichte.....	87
7.1	Validierung der Methode zur Messung des <i>oxygen transport resistance</i>	87
7.1.1	Grenzstromdichte bei verschiedenen Sauerstoffkonzentrationen	88
7.1.2	Temperatur- und Druckabhängigkeit	90
7.1.3	Knudsen- und molekulare Diffusion.....	94
7.1.4	Kompressionsabhängigkeit	97

7.2	Übertragung der Methode auf die GDL-Materialien.....	98
7.3	Zusammenfassung und Erkenntnisse	101
8	Kryo-SEM-Analyse zur Untersuchung des Flüssigwassertransports	103
8.1	Betriebsbedingungen.....	103
8.2	Ergebnisse der Kryo-REM-Untersuchung	104
9	Validierung der Ergebnisse mittels Laserperforation.....	109
9.1	MPL-Modifikation mittels Laserperforation	109
9.2	Einzelzellenmessung der modifizierten Materialien.....	111
9.3	Zusammenfassung und Erkenntnisse	114
10	Übertragung der Ergebnisse auf die Ausgangsproblematik	117
11	Zusammenfassung	119
12	Literaturverzeichnis	121
13	Anhang.....	135
13.1	Chapman-Enskog Theorie und das Lennard-Jones Potenzial	135
13.2	3D-Mikroskopie mittels Fokusvariation.....	137
13.3	Sauerstofftransportwiderstand der Versuchsgasdifusionslagen	140
13.4	Messaufbau und Probenpräparation für Kryo-REM-Aufnahmen der MEA.....	146
13.5	Kryo-REM-Aufnahmen einer Sublimationssequenz	147

**Energie & Umwelt /
Energy & Environment
Band / Volume 286
ISBN 978-3-95806-088-3**

